

УДК 541.136

Р.Д. АПОСТОЛОВА, О.В. КОЛОМОЕЦЬ, О.М. ШЕМБЕЛЬ

### ДОСЛІДЖЕННЯ ЕЛЕКТРОДІВ НА ОСНОВІ ЕЛЕКТРОЛІТИЧНИХ СУЛЬФІДІВ FeCoS<sub>x</sub>, FeS<sub>x</sub> ТА ЇХ КОМПОЗИТІВ ІЗ ГРАФІТОМ В РЕАКЦІЇ З ЛІТІЄМ ЗА МЕТОДОМ СПЕКТРОСКОПІЇ ЕЛЕКТРОХІМІЧНОГО ІМПЕДАНСУ

ДВУЗ Український державний хіміко-технологічний університет, м. Дніпропетровськ

Імпедансні дослідження деградації при циклюванні в макетному літієвому акумуляторі електролітичних сульфідних сполук (FeCoS<sub>x</sub>, FeS<sub>x</sub> та їх електролітично графітизованих аналогів) виявили ключову роль поверхневої твердофазної полімерної плівки, що утворюється при взаємодії активного матеріалу з алкіл карбонатним електролітом. Подальше циклювання відми- того від плівки, осушеного сульфідного електроду підвищує його ресурс і свідчить про працездатність активного сульфідного матеріалу після вими- вання плівки.

Більшість значних наукових результатів в електрохімії отримано з використанням спектроскопії електрохімічного імпедансу, що приводить до встановлення кінетичних та ін. характеристик явища в термінах швидкості процесу (масоперенесення, електрохімічної або хімічної реакцій). Імпеданс частенько надають на комплексній площині в форматі Найквіста (в координатах активної та реактивної часток імпедансу), де кожне значення відповідає визначеній частоті. Формат Найквіста дозволяє судити про можливі механізми електродного процесу. В дослідженнях електролітичних сульфідів переходних металів (Me), синтезованих авторами, неодноразово було застосовано метод спектроскопії електрохімічного імпедансу [1–4]. Дані роботи в продовження цих досліджень спрямована на визначення за методом електрохімічного імпедансу причин деградації електролітичних Me-сульфідів при циклюванні в макетних літієвих акумуляторах.

#### Методи дослідження

Бінарні Fe<sub>x</sub>Co<sub>y</sub>-сульфіди та монофазні сульфіди заліза отримували на катоді з нержавіючої сталі із розчину, моль/л: MeSO<sub>4</sub> – (4,3–5,0)·10<sup>-2</sup>, Na<sub>2</sub>S<sub>2</sub>O<sub>3</sub> – (2,5–3,0)·10<sup>-2</sup>; лаурілсульфат, г/л – 0,1; при кімнатній температурі; pH (3,5–4,2); i<sub>катод</sub> = 2–3 mA·cm<sup>-2</sup>. Оптимальне співвідношення Co:Fe=1,0:3,5. При графітизації сульфідних сполук в електроліт додавали 2 г/л природного графіту марки ЕУЗ-М (ГОСТ 10274-79).

Електрохімічні характеристики метало-сульфідних електродів досліджували в макеті дискового ХДС 2325 з літіевим протиелектродом, а та-

кож в триелектродній комірці з літіевим допоміжним електродом та Li/Li<sup>+</sup>-електродом порівняння при кімнатній температурі. В макеті, наповненому електролітом 1:1 (об'єм.) етиленкарбонат:діметилкарбонат (ЕК:ДМК, Merck, Німеччина), 1 M LiClO<sub>4</sub> (Йодобром, Україна), склад води, визначений за методом К. Фішера, не перевищує 0,005%.

Гальваностатичне циклювання макетів проводили на іспитовому стенді з програмним забезпеченням. Для імпедансних досліджень використовували аналітичний радіометр VoltaLab PJZ 301. Вимірю імпедансу здійснювали в квазі-рівноважних умовах залежно від ступеню літіювання (потенціалу електрода) сульфідного з'єднання. Пауза між виключенням розрядного струму макетного акумулятора й імпедансним вимірюванням становила 0,5 год. Для вимірю імпедансу накладався імпульс змінного струму напругою 5–10 мВ між робочим і допоміжним електродами. Відгук досліджуваної системи на імпульс розкладався на комплексній площині на активну й реактивну складову. Імпедансні дослідження метало-сульфідного електрода здійснювали в інтервалі частоти 100 кГц – (2–4) мГц.

Зміну опору макета ( $dE/di$ ) при розряді в залежності від потенціалу (E, В) визначали диференціюванням розрядних кривих (E-t), отриманих при двох значеннях струму  $i_1$ ,  $i_2$  (A/cm<sup>2</sup>), де  $dE=E_1-E_2$ ,  $di=i_1-i_2$ , t – час (с). Значення  $i_1$ ,  $i_2$  не перевищує 5–8 мкА/cm<sup>2</sup>.

#### Результати та їх обговорення

Аналіз деградації електролітичних сульфідів

FeCoS<sub>x</sub> та їх графітованих аналогів при циклюванні в реакції з літієм.

Годографи біметало-сульфідів (FeCoS<sub>x</sub>-електродів) та композитів із графітом (FeCoS<sub>x</sub>-Gr-електродів), отримані при їх взаємодії з літієм в першому розрядному процесі макетного літієвого акумулятора, порівнювали в залежності від ступеня розряду. У складі FeCoS<sub>x</sub>-електродів за даними рентгенофазового аналізу ідентифіковано сульфіди Co<sub>9</sub>S<sub>8</sub>, FeS.

Свіжоприготовані електроди з рівноважним потенціалом близьким до 3,0 В відносно Li/Li<sup>+</sup>-електрода в координатах Найквіста представляють декілька закривлені лінії (рис. 1, крива 1), низькочастотні складові яких Z<sup>I</sup> та Z<sup>II</sup> ( $f=4$  мГц) мають високі значення (десятки кОм·см<sup>2</sup>). З нарощуванням ступеню літіювання профіль годографів змінюється. В імпедансному спектрі в високо-, середньочастотній області з'являється дуга, що переходить через проміжну ділянку в пряму лінію (рис. 1, криві 2–6).

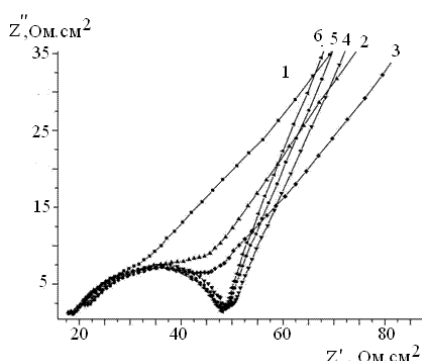


Рис. 1. Імпедансні спектри у високо-, середньочастотній області в залежності від потенціалу електрода. Цифри біля кривих — значення потенціалу електрода:  
1 – 3,07 В; 2 – 1,76 В; 3 – 1,72 В; 4 – 1,55 В;  
5 – 1,50 В; 6 – 1,47 В

Параметри спектрів біметало-сульфіду та його композиту з графітом при однаковому розрядному стані, значно різняться, як видно з (таблиця), де розрядний стан електрода відповідає потенціалу 1,5 В.

#### Порівняння параметрів імпедансних спектрів FeCoS<sub>x</sub>, FeCoS<sub>x</sub>-Gr-електродів при потенціалі 1,5 В

| Параметр                             | Електрод FeCoS <sub>x</sub> | Електрод FeCoS <sub>x</sub> -Gr |
|--------------------------------------|-----------------------------|---------------------------------|
| R <sub>1</sub> , Ом·см <sup>2</sup>  | 51,3                        | 25                              |
| Z <sup>I</sup> , Ом·см <sup>2</sup>  | 107                         | 204                             |
| Z <sup>II</sup> , Ом·см <sup>2</sup> | 134                         | 592                             |
| f, Гц                                | 400                         | 1250                            |

Примітка: R<sub>1</sub> — діаметр сплюснутої півсфери; Z<sup>I</sup> — низькочастотна активна частка імпедансу ( $f=4$  мГц); Z<sup>II</sup> — низькочастотна реактивна частка імпедансу ( $f=4$  мГц); f — частота змінного струму.

Означена різниця в параметрах спектрів зо-

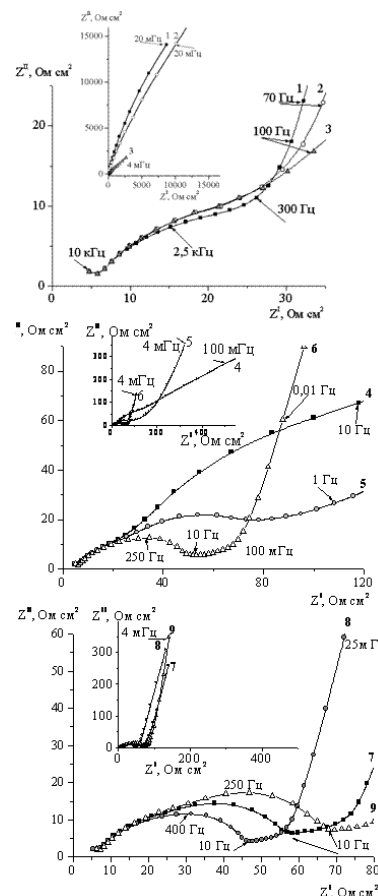


Рис. 2. Годографи електрода FeCoS<sub>x</sub> в залежності від потенціалу для високо-, середньочастотної області. Вставка — повний спектр. Потенціали електрода для кривих 1–9: 1 – 2,77 В; 2 – 2,37 В; 3 – 2,00 В; 4 – 1,75 В; 5 – 1,69 В; 6 – 1,50 В; 7 – 1,33 В; 8 – 1,40 В; 9 – 1,30 В

бов'язана наявності графіту у складі сульфідного матеріалу.

Еволюція імпедансних спектрів при розряді FeCoS<sub>x</sub>-електродів (рис. 2, рис. 3) не повторює таку спектрів FeCoS<sub>x</sub>-Gr-електродів (рис. 4, рис. 5).

Досліджувані системи дуже складні для аналізу імпедансних спектрів, оскільки безграфітний та графітовомісні біметало-сульфіди являють суміш двох сульфідів заліза та кобальту, які в свою чергу складаються з суміші фаз моносульфідів. Додаткові проблеми в визначенні механізмів електродного процесу постають в композиті з домішкою графіту. Останній може впливати на структуру сульфідних фаз, що формуються при розряді в реакції з літієм, і відрізняються від кінцевих продуктів розряду, що утворюються у відсутності графіту. Проте для якісного оцінювання було виконано порівняння ефективного опору перенесення зарядів R<sub>ctef</sub> (діаметра сплюснутої півсфери на годографах) через поверхню розподілу електрод/електроліт в залежності від потенціалу електрода для двох біметало-сульфідів з графітом FeCoS<sub>x</sub>-Gr та без нього FeCoS<sub>x</sub> (рис. 6).

## Дослідження електродів на основі електролітичних сульфідів $\text{FeCoS}_x$ , $\text{FeS}_x$

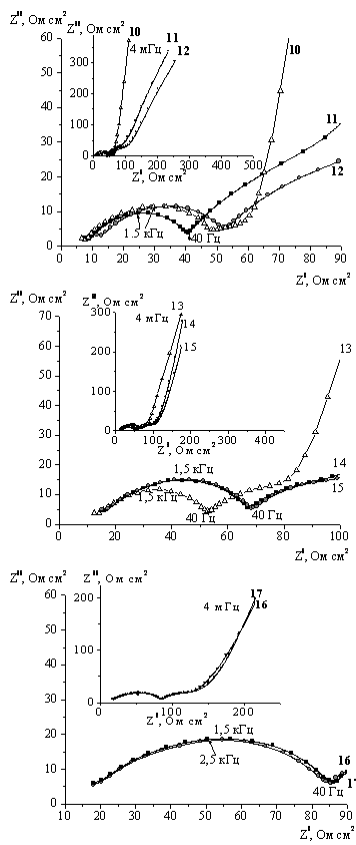


Рис. 3. Годографи електрода  $\text{FeCoS}_x$  в залежності від потенціалу для високо-, середньочастотної області. Вставка — повний спектр. Потенціали електрода для кривих 10–17:  
10 – 1,14 В; 11 – 0,87 В;  
12 – 0,77 В; 13 – 0,61 В;  
14 – 0,49 В; 15 – 0,32 В;  
16 – 0,22 В; 17 – 0,05 В

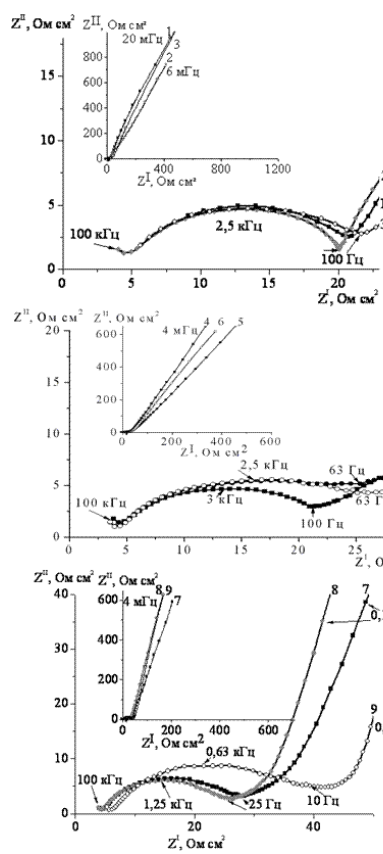


Рис. 4. Годографи електрода  $\text{FeCoS}_x\text{-Gr}$  в залежності від потенціалу для високо-, середньочастотної області. Вставка — повний спектр. Потенціали електрода для кривих 1–9: 1 – 2,40 В; 2 – 2,92 В; 3 – 2,25 В; 4 – 2,04 В; 5 – 1,80 В; 6 – 1,70 В; 7 – 1,50 В; 8 – 1,32 В; 9 – 1,20 В

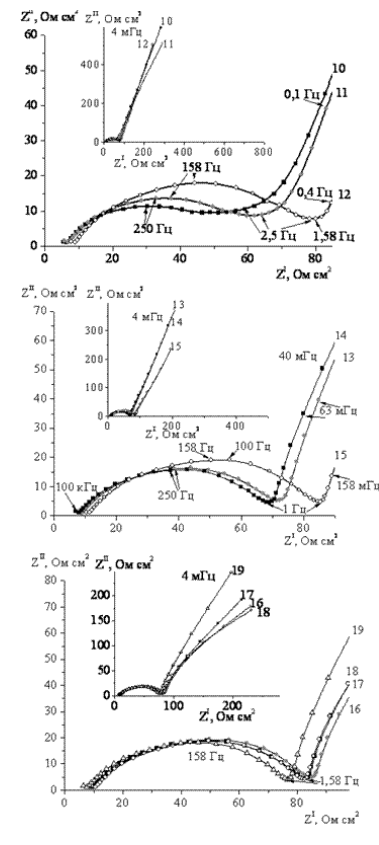


Рис. 5. Годографи електрода  $\text{FeCoS}_x\text{-Gr}$  в залежності від потенціалу для високо-, середньочастотної області. Вставка — повний спектр. Потенціали електрода для кривих 10–19: 1 – 0,80 В; 2 – 0,71 В; 3 – 0,60 В; 4 – 0,55 В; 5 – 0,29 В; 6 – 0,20 В; 7 – 0,16 В; 8 – 0,13 В; 9 – 0,08 В

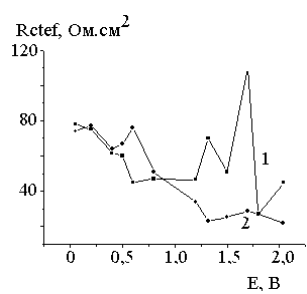


Рис. 6. Порівняння залежності  $R_{ctef}$  від потенціалу електрода в першому циклі. Електроди: 1 –  $\text{FeCoS}_x$ ; 2 –  $\text{FeCoS}_x\text{-Gr}$

Очевидно, що графіт сприяє зниженню опору перенесення зарядів в початковій стадії розряду, в межах якої відбувається головний електродинамічний процес взаємодії сульфідного матеріалу з літієм та паралельний процес розкладення електроліту ( $E=2,80\text{--}1,25$  В). В наступній стадії розряду ( $E=1,25\text{--}0,20$  В) — стадії плівкоутворення, складні відносини між компонентами досліджуваної системи

не дозволяють відокремити закономірності впливу графіту на релаксаційні процеси, що спостерігаються в розрядженному сульфідному матеріалі в межах його рівноважного потенціалу 1,25–0,20 В.

Зміна  $R_{ctef}$  в залежності від потенціалу ( $E$ , В) при циклюванні для електрода  $\text{FeCoS}_x$  без графіту для 3-го та 15-го циклів показана на рис. 7. Значення  $R_{ctef}$  електрода  $\text{FeCoS}_x$  без графіту зростає в процесі циклювання при потенціалах плівкоутворення, особливо в кінці розряду в інтервалі 0,5–0,1 В.

Поведінка електрода з графітом  $\text{FeCoS}_x\text{-Gr}$  відрізняється від такої електрода без графіту  $\text{FeCoS}_x$  тим, що при циклюванні в межах потенціалів інтеркаляції літію в графіт (0,24–0,05 В) значення  $R_{ctef}$  зменшується на фоні загального зростання  $R_{ctef}$  в залежності від потенціалу (рис. 8).

Надані результати показали необхідність в наступному етапі дослідження для аналізу імпедансних спектрів електролітичних сульфідів переходних металів в суміші з графітом спростити дослідження

ну систему і звернутися до моносульфідної системи, для чого використано в дослідженнях за методом імпедансної електрохімічної спектроскопії електролітичний сульфід заліза  $\text{FeS}_x$  та його електролітично графітизований аналог.

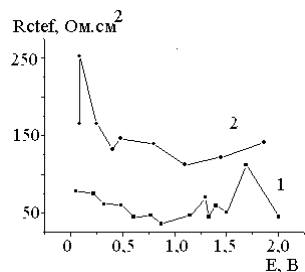


Рис. 7. Зміна  $R_{\text{ctef}}$  з потенціалом ( $E$ , В) при циклюванні електрода  $\text{FeCoS}_x$  без графіту. Цикли: 1 – 3-ий; 2 – 15-ий

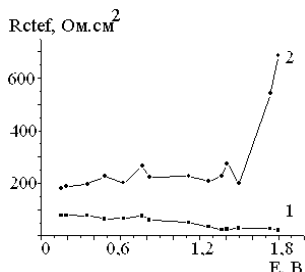


Рис. 8. Зміна  $R_{\text{ctef}}$  з потенціалом ( $E$ , В) при циклюванні електрода  $\text{FeCoS}_x$  з графітом. Цикли: 1 – 3-ий; 2 – 15-ий

Аналіз деградації електролітичних залізо-сульфідів та їх графітизованих аналогів при циклюванні в реакції з літієм.

Складові елементи імпедансу електродів на основі сульфіду заліза, графітизованого за допомогою природного графіту марки ЕУЗ-М ( $\text{FeS}$ , EUZM-Gr), були проаналізовані при порівнянні імпедансних спектрів в 3-му та 15-му циклах на підставі того, що процеси деградації погіршили початкові розрядні характеристики електродів вже в 15-му циклі (рис. 9, криві 3 та 15).

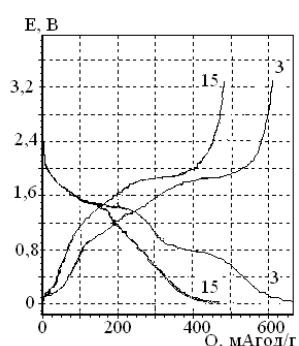


Рис. 9. Розрядно-зарядні криві  $\text{FeS}$ , EUZM-Gr-електрода в макеті літієвого акумулятора для 3-го та 15-му циклів.  $i_{\text{розр}} = i_{\text{заряд}} = 0,05 \text{ mA/cm}^2$

Годографи для 3-го циклу проаналізовано в різному розрядному стані  $\text{FeS}$ , EUZM-Gr-електродів, який відповідає рівноважним потенціалам електрода: 3,20; 1,47; 1,31; 0,82; 0,60; 0,19; 0,14; 0,078 В (рис. 10). На рис. 10,а показано імпедансний спектр в частотному інтервалі 100 кГц – 4 мГц, на рис. 10,б – фрагмент цього імпедансного спектра (їого високо-, середньочастотна області).

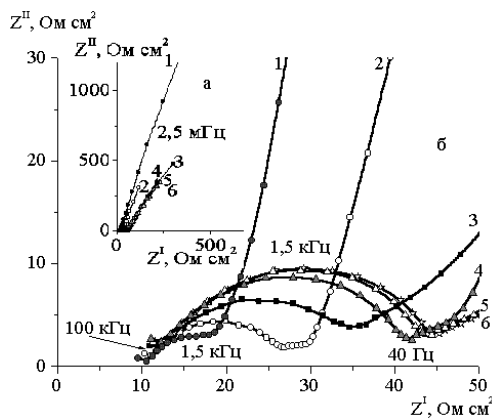


Рис. 10. Годограф системи електродів  $\text{FeS}$ , EUZM-Gr/електроліт в залежності від потенціалу.  $f$ , Гц: а – 100000–4·10<sup>-3</sup>; б – високо-, середньочастотний фрагмент

Спочатку в аналізі імпедансного спектра електрода  $\text{FeS}$ , EUZM-Gr зроблено порівняння частки омічної складової опору  $R_0$ , що отримана в високочастотній області діаграми Найквіста на перетині сплюснута півсфера /абсциса опору  $Z^I$  для 3-го та 15-го циклів. Цей елемент імпедансу електрода характеризує омічну складову (об'ємного електроліту та електроліту в порах активного матеріала, опір активного твердофазного електродного матеріалу). В 3-му циклі значення  $R_0$  дорівнює 12,06  $\text{Ом}\cdot\text{cm}^2$ , в 15-му циклі воно підвищується до 12,90  $\text{Ом}\cdot\text{cm}^2$ . Зростання  $R_0$  становить лише 0,7%, що не дає підстав вважати  $R_0$  ключовим параметром зміни електрохімічних характеристик електрода  $\text{FeS}$ , EUZM-Gr при циклюванні.

Імпедансний спектр електрода  $\text{FeS}$ , EUZM-Gr складається з трьох складових елементів: дуги або так званої сплюснутої півсфери в високо-середньочастотній області спектра, лінійного шлейфу в низькочастотній області та переходної ділянки між ними. Слід сказати, що переходна ділянка годографу зменшується значно із зменшенням маси електрода. Проте надтонкі електроди, з малою масою активного сульфідного матеріалу мають в свою чергу такий недолік, як нерівномірність покриття з наявністю оголених, без осадів ділянок металевої основи. Сплюснута півсфера характеризує елемент опору перенесення заряду через поверхню розподілу електрод/електроліт  $R_{\text{ct}}$ , який зашунтований ємністю подвійного шару  $C_{\text{dl}}$ . Відхилення сплюс-

## Дослідження електродів на основі електролітичних сульфідів $\text{FeCoS}_x$ , $\text{FeS}_x$

нутого профілю цього елементу від профілю півсфери, що характеризує релаксаційний процес з однією постійною часу, та перехідна ділянка імпедансного спектру  $\text{FeS}$ , EUZM-Gr-електроду свідчать про наявність декількох релаксаційних процесів з різними характеристичними постійними часу. Пояснити таку наявність можна неоднорідністю частинок осаду, різною товщиною шарів в осаді, тобто негомогенністю активного матеріалу, посилаючись на роботу [5], де проаналізовано вплив гетерогенності графітового електрода на імпедансні спектри. Окрім того, треба зважувати також можливість наявності рентгеноаморфних сульфідних фаз у складі активного електродного матеріалу.

Розмір діаметра сплюснутої півсфери  $R_{ct}$  залежить від потенціалу електрода  $\text{FeS}$ , EUZM-Gr (рис. 11). Його найменше значення досягається при потенціалі 1,47 В і співпадає з максимумом диференційної ємності в залежності від потенціалу електрода. Потенціал 1,47 В відноситься до області максимальної активності електрохімічної взаємодії сульфідного матеріалу з літієм. Починаючи від означеного потенціалу, в процесі розряду діаметр півсфери зростає з деяким зниженням при потенціалі 0,8 В. Останній потенціал належить до області максимальної активності поверхневого електрохімічного плівкоутворення на активному матеріалі. Зростання діаметра півсфери триває в подальшому розряді до його завершення з деякими коливаннями розміру в напрямку зменшення в межах потенціалів інтеркаляції літію в графіт (між 0,24–0,03 В).

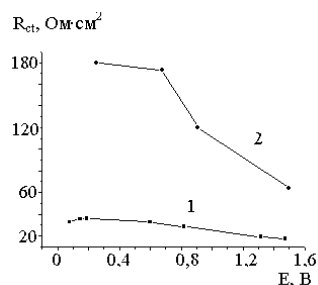


Рис. 11. Зміна опору перенесення зарядів через поверхню  $\text{FeS}$ , EUZM-Gr-електрод/електроліт в процесі розряду електрода в межах 1,5–0,1 В. Цикли: а – 3-ий; б – 15-ий

Еволюція діаметра півсфери в процесі розряду (рис. 11, крива 1) свідчить про поступове нарощуванням опору перенесення заряду. В межах потенціалів розрядного процесу електрода 3,30–0,05 В в імпедансному спектрі спостерігаються три головні релаксаційні процеси, що відповідають: взаємодії сульфідного матеріалу з літієм (область потенціалів 3,3–1,1 В), утворенню та трансформації полімерної поверхневої твердофазної плівки (1,40–0,05 В), інтеркаляції літію в графіт (0,24–0,03 В).

Відомо, що на поверхні активних електрод-

них матеріалів при взаємодії з літіевими алкіл карбонатами електролітами формуються плівки, до складу яких входять органічні літієві солі (алкіл карбонатні типу  $\text{ROCO}_2\text{Li}$ ) та неорганічна літієва сіль ( $\text{Li}_2\text{CO}_3$ ). На підставі отриманих в даному розділі результатів саме вони відповідні за нарощування опору перенесення зарядів через поверхню розподілу електроліт/полімерна твердофазна плівка карбонатів літію різного хімічного складу в розрядженному  $\text{FeS}$ , EUZM-Gr-електроді.

Помітна зміна опору перенесення заряду через поверхню розподілу електрод/електроліт відбувається при деградації електродної системи в процесі циклювання електрода  $\text{FeS}$ , EUZM-Gr (цикли 3–15). Вона стосується як області електрохімічної активності сульфідного матеріалу, так і області плівкоутворення.

Крива 2 на рис. 11 свідчить про значну еволюцію релаксаційних процесів на імпедансних спектрах після проведення 15 розрядно-зарядних циклів в порівнянні з такими для 3-го циклу. Величини опору перенесення заряду підвищуються приблизно в 3,5 разів в області реакційної активності сульфідного матеріалу та в 4–5 разів в області плівкоутворення на 15-му циклі в порівнянні з такими в 3-му циклі. Оскільки немає чіткої межі розподілу потенціалів електрохімічної активності сульфідів і відновлення електроліту, можливо, область потенціалів плівкоутворення починає накладатись на область потенціалів активності сульфідного матеріалу вже при потенціалі майже більш, як 1,5 В. Простежується аналогія в еволюції  $R_{ct}$  графітизованих сульфідів заліза та біметалічного  $\text{FeCoS}$ -сульфіду від 3-го до 15-го циклу.

На жаль, недостатність даних про фізико-хімічні та структурні характеристики поверхневої полімерної твердофазної плівки на поверхні електрода  $\text{FeS}$ , EUZM-Gr не дозволяє визначити її абсолютно товщину. Проте можна встановити відносну зміну параметрів плівки при циклюванні між 3-м та 15-м циклами, якщо геометричну ємність плівки  $C_{sl}$  визначити класичною формулою:

$$C_{sl} = \epsilon_0 \epsilon_1 S / l, \quad (1)$$

де  $\epsilon_0$  – діелектрична постійна вакууму ( $8,85 \cdot 10^{-12} \text{ Ф/м}$ );  $\epsilon_1$  – діелектрична постійна досліджуваного матеріалу (5 для алкілкарбонатних солей літію [2]);  $S$  – геометрична площа поверхні розподілу ( $1 \text{ см}^2$ );  $l$  – товщина плівки.

Далі за експериментальними даними визначено співвідношення:

$$C_{sl15} / C_{sl3} - \frac{\omega_{15} Z_{j15}}{\omega_3 Z_{j3}} = 1,3, \quad (2)$$

де  $C_{sl15}$  – ємність плівки на 15-му циклі;  $C_{sl3}$  – ємність плівки на 3-му циклі;  $Z_{j15}$  – максимум

реактивної частки імпедансу в сплюснутій півсфері електрода при потенціалі плівкоутворення 0,82 В в 15-му циклі;  $Z_{j3}$  — максимум реактивної частки імпедансу в сплюснутій півсфері електрода при потенціалі плівкоутворення 0,82 В в 3-му циклі;  $\omega_{15}$  — кругова частота в максимумі  $Z_{j15}$  при потенціалі плівкоутворення 0,82 В для 15-го циклу;  $\omega_3$  — кругова частота в максимумі  $Z_{j3}$  при потенціалі плівкоутворення 0,82 В для 3-го циклу.

При припущені, що зміни параметра діелектричної постійної матеріалу при циклованні незначні, встановлено, що під час цикловання електрода FeS, EUZM-Gr відбувається трансформація плівки із зміною параметрів ( $I$ ,  $S$ ) в 1,3 рази. На багатьох електродних матеріалах плівка в алкілкарбонатних електролітах формується із двошаровою структурою. В такому разі, можливо, внутрішній шар, який прилягає до активного матеріалу електрода FeS, EUZM-Gr, ущільнюється, а в зовнішньому поруватому шарі плівки, як результат зміни поруватості при циклованні, поверхнева площа може коливатися із підвищенням.

Активна складова низькочастотного імпедансу  $Z^I$ , отримана при частоті 4 мГц в залежності від потенціалу електродів на основі електролітичного сульфіду заліза з графітом EUZM та без нього, показана на рис. 12. Пікоподібна поведінка ( $Z^I$ ) — Е відображує періодичні зміни в поверхневих шарах електрода. Максимуми припадають на зону найбільшої активності взаємодії електролітного матеріалу з електролітом з утворенням поверхневих плівок (0,8–1,0 В) так само, як в залежності  $R_{ct}$  — Е.

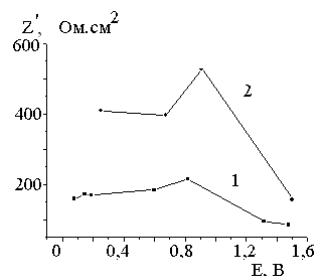


Рис. 12. Низькочастотна реальна складова імпедансу електролітичних сульфідів заліза при частоті 4 мГц ( $Z'$ ) в залежності від потенціалу електрода (Е). Електроди  $FeS_x$ : 1 — з графітом EUZM; 2 — без графіту

Реактивна складова низькочастотного імпедансу  $Z''$ , отримана при частоті 4 мГц в залежності від потенціалу електродів на основі електролітичного сульфіду заліза з графітом EUZM та без нього, показана на рис. 13. Залежність двох наданих низькочастотних складових імпедансу  $Z^I$  та  $Z''$  від потенціалу подібна і знаходиться в однакових межах значень ( $\Omega \cdot \text{см}^2$ ). Активна складова низькочастотного імпедансу електрода FeS без графіту й з графітом підвищується, як і реактивна, з утворенням плівки за одинаковими закономірно-

стями в залежності від потенціалу електрода. Проте абсолютні величини цих складових відрізняються у випадку електрода з графітом від таких електрода без графіту в 2,0–2,5 рази. Результати підтверджують суттєве значення процесу формування та реконструкції полімерної твердофазної плівки на активному матеріалі в електродному процесі в межах 2,8–0,1 В.

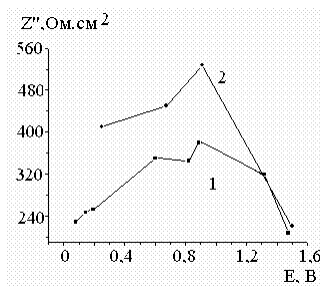


Рис. 13. Низькочастотна реактивна складова імпедансу електролітичних сульфідів заліза при частоті 4 мГц ( $Z''$ ) в залежності від потенціалу електрода (Е). Електроди  $FeS_x$ :

1 — з графітом EUZM; 2 — без графіту

Зміна опору  $dE/di$  електролітичного металосульфідного електрода в процесі гальваностатичного розряду в межах 2,5–0,2 В відбувається із хвильоподібним зростанням, як відображене на рис. 14, а, крива 1. Мінімуми на кривій спостерігаються при потенціалах 1,5 та 0,8 В, які співпадають із максимумами кривих диференційної ємності електрода в залежності від потенціалу. Максимальні значення опору в межах (4–9  $\text{k}\Omega \cdot \text{см}^2$ ) пов'язані із плівкоутворенням на поверхні активної речовини в результаті електрохімічної взаємодії з електролітом.

Опір  $dE/di$  електрода на основі сульфідного матеріалу, співсадженого із графітом ( $FeS_x$ , EUZM-Gr), змінюється із потенціалом при розрядженні по-різному, в залежності від маси графіту, що включився в осад. При незначній масі графіту в осаді, яку важко кількісно прецизіозно визначити, опір  $dE/di$  електродів без графіту та з графітом мало відрізняються один від одного. Проте позитивний вплив навіть незначної кількості графіту спостерігається в цьому випадку в підвищенні адгезії осаду до металевої основи. Зі зростанням маси графіту в електроді  $FeS_x$ , EUZM-Gr профіль  $dE/di$  — Е значно відрізняється від такого безграфітного електрода. Така зміна показана на рис. 14, а, крива 2. На рис. 14, б ту саму криву надано в збільшенному масштабі. Як видно при порівнянні цих кривих із аналогічною кривою електрода без графіту, тенденція зміни  $dE/di$  із потенціалом у випадках із графітом та без нього майже однаакова при розряді з кінцевим потенціалом розряду електрода 0,25 В. Мінімуми та максимуми кривих співпадають. Різниця між кривими полягає в тому, що графіт значно, приблизно на порядок, зменшує опір електрода. Окрім того, при наявності графіту

## Дослідження електродів на основі електролітичних сульфідів $\text{FeCoS}_x$ , $\text{FeS}_x$

в осаді додатково зменшується опір  $dE/di$  в межах потенціалу 0,25–0,03 В за рахунок інтеркаляції літію в графіт (рис. 14, б) [6–10].

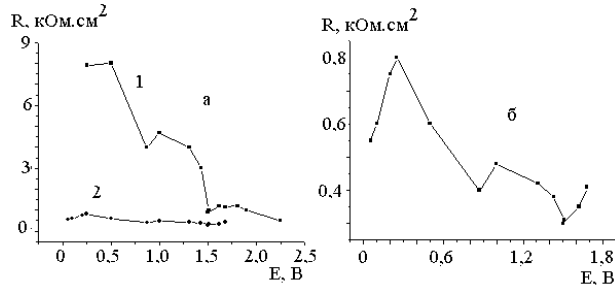


Рис. 14. Зміна  $dE/di$  ( $\text{k}\Omega\cdot\text{cm}^2$ ) із зміною потенціалу електрода  $E$  (В). а – електроди: 1 –  $\text{FeS}$ ; 2 –  $\text{FeS}_x$ , EUZM-Gr; б – крива 2 за рис. 14,а при збільшенні

В обох випадках в електродах із графітом та без такого суттєве значення у визначенні опору відіграють поверхневі плівки. Вони підвищують опір електрода після досягнення потенціалу 1,5–1,4 В та нижче.

Отримані залежності зміни опору  $dE/di$  електролітичних сульфідів заліза та їх композитів із графітом являють собою прототипи кривих опору перенесення зарядів в залежності від потенціалу електрода, отримані за методом спектроскопії електрохімічного імпедансу. Залежність  $dE/di$ – $E$  більш ярко виражена в порівнянні із залежністю  $Rct$ – $E$ , особливо в області потенціалів плівкоутворення.

Наявність поверхневої твердофазної плівки на електролітичних сульфідних сполуках підтвердили дослідження морфології поверхні сульфідного матеріалу після тривалого циклювання з падінням розрядної ємності за допомогою електронного мікроскопу [11]. Реанімірувати сульфідний електрод з плівкою можна промивкою його в проточній воді з подальшим сушінням.

### **Выводы**

Імпедансні дослідження деградації при циклюванні в макетному літієвому акумуляторі електролітичних сульфідних сполук ( $\text{FeCoS}_x$ ,  $\text{FeS}_x$  та їх електролітично графітізованих аналогів) виявили важливе значення поверхневої твердофазної полімерної плівки, що утворюється при їх взаємодії з електролітом. Плівка формується на поверхні окремих частинок сульфідного матеріалу, а також на підложці. Подальше циклювання відмітого від плівки, осушеного сульфідного електрода дозволяє підвищити його ресурс і свідчить про життєздатність активного сульфідного матеріалу.

### **СПИСОК ЛИТЕРАТУРИ**

1. Electrolytic molybdenum sulfides for thin-layer lithium power sources / E. Shembel, R. Apostolova, I. Kirsanova, V. Tysyachny // J. Solid State Electrochem. – 2008. – Vol.12. – № 9. – P.1155-157.
2. Синтез електролітических сульфідов заліза на тонкій алюмінієвій підложці і исследование їх в макетах низкотемпературных літієвих ХІТ / Р.Д. Апостолова, Н.Д. Задерей, С.П. Самойлов, Е.М. Шембель // Вопр. химии и хим. технологии. – 2008. – № 1. – С.123-127.
3. Разрядная ємкость макетов літієвого аккумулятора и импеданс електродів на основі електролітического сульфіда заліза в залежності від розміру його частиц / Р.Д. Апостолова, О.В. Коломоєць, В.П. Тисячний, Е.М. Шембель // Вопр. химии и хим. технологии. – 2009. – № 2. – С.137-143.
4. Розрядна ємність макетів літієвого акумулятору та імпеданс електродів електролітичного сульфіду заліза в залежності від його маси / Р.Д. Апостолова, О.В. Коломоєць, В.П. Тисячний, Е.М. Шембель // Вопр. химии и хим. технологии. – 2009. – № 5. – С.151-154.
5. Levi M.D., Aurbach D. Impedance of a Single Intercalation Particle and of Non-Homogeneous, Multilayered Porous Composite Electrodes for Li-ion Batteries // J. Phys. Chem. – 2004. – Vol.108. – P.11683-11703.
6. On electrochemical impedance measurements of  $\text{Li}_x\text{Co}_{0.2}\text{Ni}_{0.8}\text{O}_2$  and  $\text{Li}_x\text{NiO}_2$  intercalation electrodes / Levi M.D., Gamolsky K., Aurbach D., Heider U., Osten R. // Electrochim. Acta. – 2000. – Vol.45. – P.1781-1789.
7. Апостолова Р.Д., Коломоєць О.В., Шембель Е.М. Оптимизация сульфидов железа в электролитических композитах с графитами для литий-ионных батарей // Электронная обработка материалов. – 2011. – Т.47. – № 5. – С.99-105.
8. Апостолова Р.Д., Коломоєць О.В., Шембель Е.М. Электролитические композиты сульфидов железа с графитом в макетном літіевом акумуляторе // Журн. прикл. химии. – 2011. – Т.84. – № 4. – С.571-577.
9. Apostolova R.D., Kolomoets O.V., Shembel E.M. Optimization of iron sulfides in electrolytic composites with graphite's for lithium-ion batteries // Surface Engineer. and Appl. Electrochem.– 2011. – Vol.47. – № 5. – P.465-470.
10. Apostolova R.D., Kolomoets O.V., and Shembel E.M. Electrolytic Composites of Iron Sulfides with Graphite in a Prototype Lithium Battery // Russian J. of Appl. Chemistry. – 2011. – Vol.84. – № 4. – P.607-614.
11. Сравнительная оценка эффективности электрохимического преобразования электролитических сульфидов Fe, Co, Ni в літіевом макетном акумуляторе в залежности от природы жидкокофазного електролита / Р.Д. Апостолова, Н.Д. Задерей, О.В. Коломоєць, Е.М. Шембель // Вопр. химии и хим. технологии. – 2012. – № 2. – С..

Надійшла до редакції 19.02.2012